
第六章 MOSFET的电气特性

电信学院

王红义

<http://gr.xjtu.edu.cn/web/wanghongyi>





MOSFET的电气特性

1. MOS结构
2. I/V特性：线型区、饱和区
3. 电阻、电容、简单RC模型
4. 二阶效应：
 - 1) 沟道长度调制效应
 - 2) 体偏效应
 - 3) 小尺寸效应
5. MOS 模型

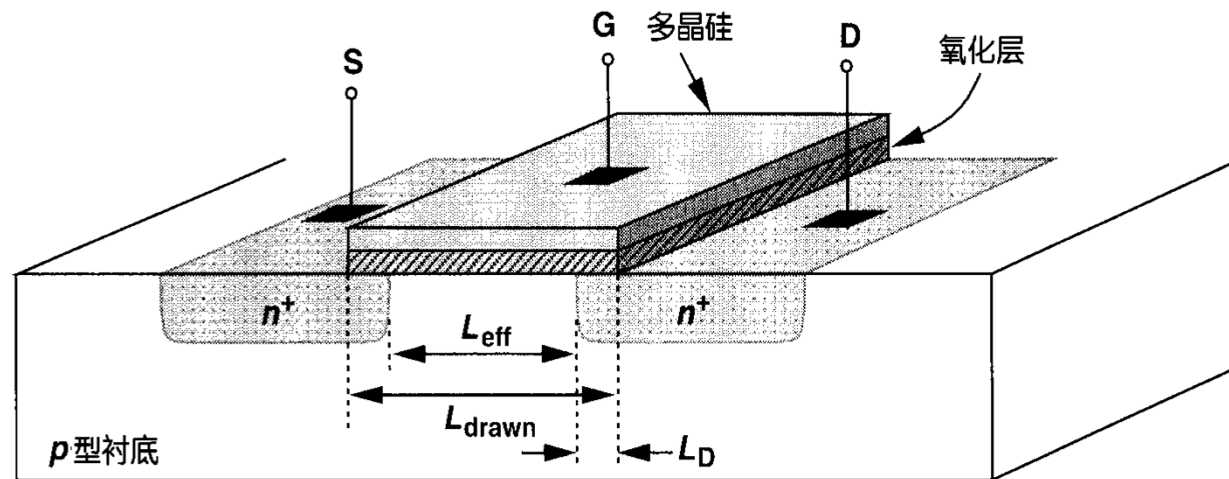
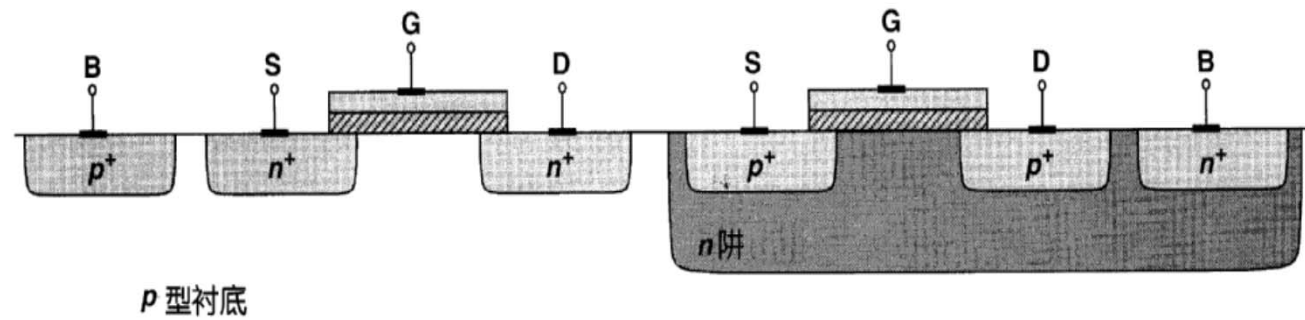


MOSFET的电气特性

- 1. MOS结构**
2. I/V特性：线型区、饱和区
3. 电阻、电容、简单RC模型
4. 二阶效应：
 - 1) 沟道长度调制效应
 - 2) 体偏效应
 - 3) 小尺寸效应
5. MOS 模型

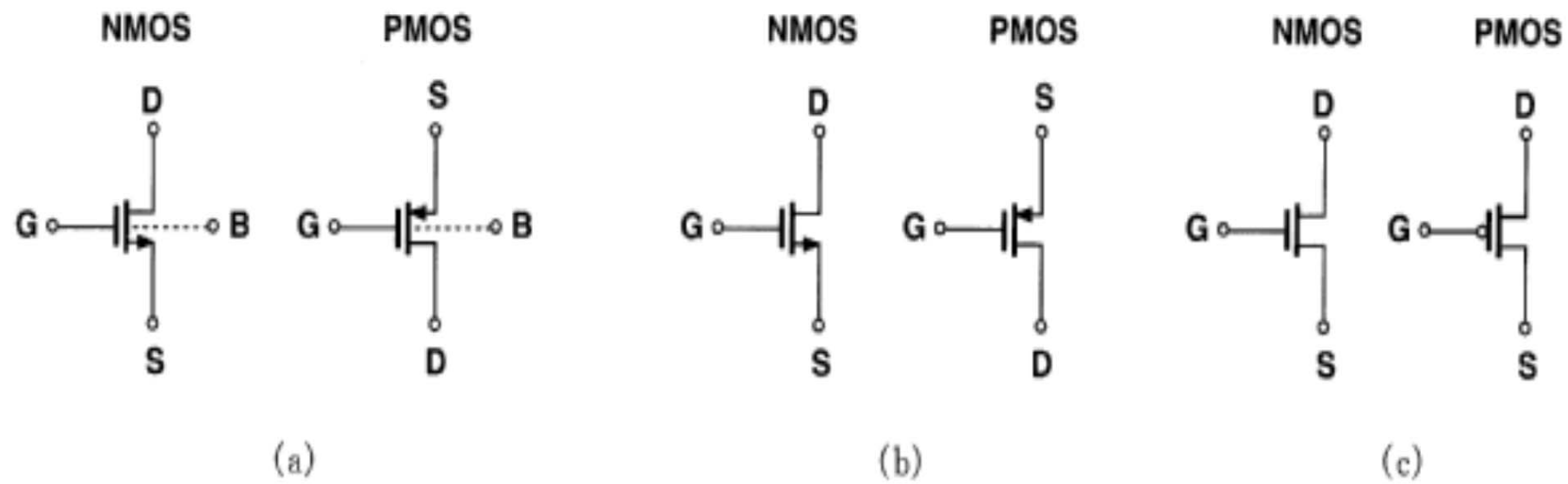


MOSFET 结构





MOS 符号



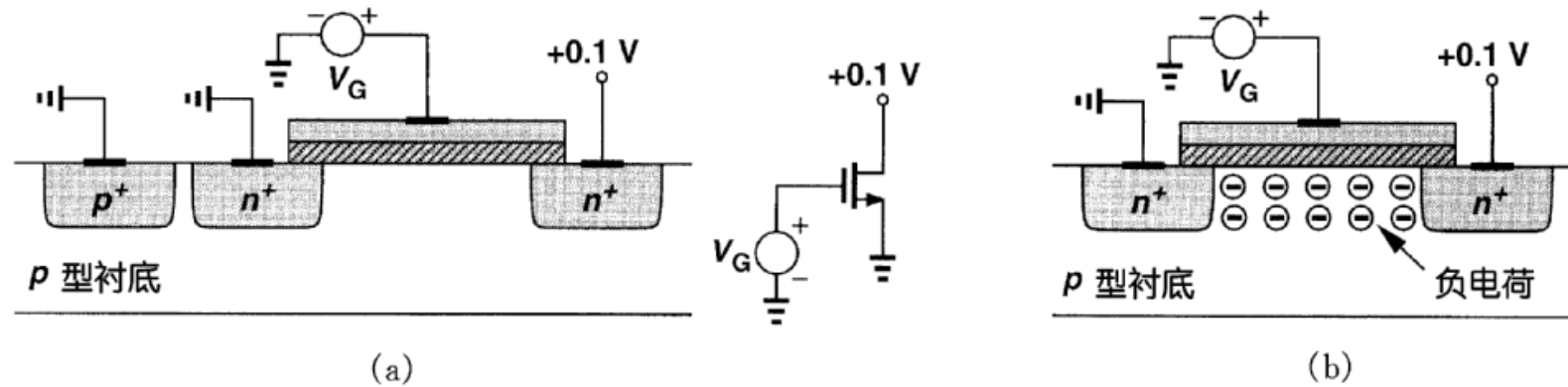


MOSFET的电气特性

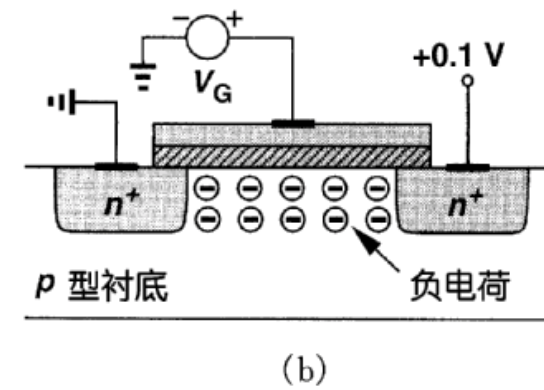
1. MOS结构
- 2. I/V特性：线型区、饱和区**
3. 电阻、电容、简单RC模型
4. 二阶效应：
 - 1) 沟道长度调制效应
 - 2) 体偏效应
 - 3) 小尺寸效应
5. MOS 模型



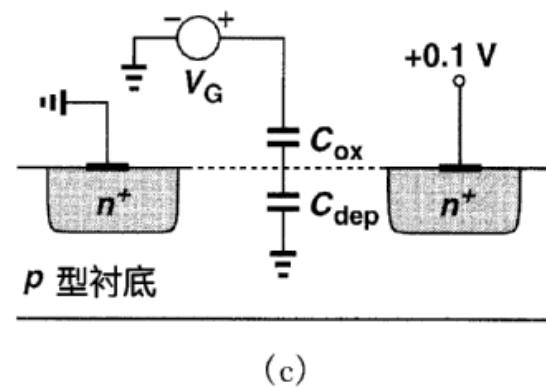
MOS 导电沟道的形成



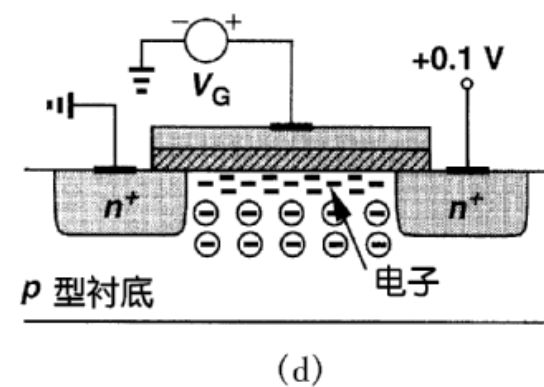
(a)



(b)



(c)



(d)

(a) 由栅压控制的MOSFET
(c) 反型的开始

(b) 耗尽区的形成
(d) 反型层的形成



MOSFET工作区间与电流公式

形成沟道的条件： NMOS: 栅极比源（或漏）的电压高一个阈值以上。

PMOS: 栅极比源（或漏）的电压低一个阈值以上。

截止区：在源漏两端都没有形成沟道。

$$I_D \approx 0$$

线性区：在源漏两端都形成了沟道。全导通

$$NMOS, PMOS : I_D = \mu_{n,p} C_{ox} \frac{W}{L} [(V_{GS} - V_{Tn,p}) V_{DS} - \frac{1}{2} V_{DS}^2] = \beta_{n,p} [(V_{GS} - V_{Tn}) V_{DS} - \frac{1}{2} V_{DS}^2]$$

$$PMOS : I_D = \mu_p C_{ox} \frac{W}{L} [(V_{SG} - |V_{Tp}|) V_{SD} - \frac{1}{2} V_{SD}^2] = \beta_p [(V_{SG} - |V_{Tp}|) V_{SD} - \frac{1}{2} V_{SD}^2]$$

其中： $\beta_{n,p} = \mu_{n,p} C_{ox} \frac{W}{L}$

饱和区：仅在源漏其中一端形成了沟道。半导通

$$NMOS, PMOS : I_D = \frac{1}{2} \mu_{n,p} C_{ox} \frac{W}{L} (V_{GS} - V_{Tn,p})^2 = \frac{\beta_{n,p}}{2} (V_{GS} - V_{Tn,p})^2$$

$$PMOS : I_D = \frac{1}{2} \mu_p C_{ox} \frac{W}{L} (V_{SG} - |V_{Tp}|)^2 = \frac{\beta_p}{2} (V_{SG} - |V_{Tp}|)^2$$



MOSFET的电气特性

1. MOS结构
2. I/V特性：线型区、饱和区
- 3. 电阻、电容、简单RC模型**
4. 二阶效应：
 - 1) 沟道长度调制效应
 - 2) 体偏效应
 - 3) 小尺寸效应
5. MOS 模型



NMOS直流电阻

深线性区: $\frac{1}{2}V_{DS} \ll V_{GS} - V_{Tn}$

$$I_D = \beta_n [(V_{GS} - V_{Tn})V_{DS} - \frac{1}{2}V_{DS}^2] = \beta_n (V_{GS} - V_{Tn} - \frac{1}{2}V_{DS})V_{DS} \approx \beta_n (V_{GS} - V_{Tn})V_{DS}$$

$$R_n \approx \frac{1}{\beta_n (V_{GS} - V_{Tn})}$$

线性区: $I_D = \beta_n [(V_{GS} - V_{Tn})V_{DS} - \frac{1}{2}V_{DS}^2] = \beta_n (V_{GS} - V_{Tn} - \frac{1}{2}V_{DS})V_{DS}$

$$R_n = \frac{2}{\beta_n [2(V_{GS} - V_{Tn}) - V_{DS}]} \quad (1)$$

饱和区: $I_D = \frac{\beta_n}{2} (V_{GS} - V_{Tn})^2$

$$R_n = \frac{V_{DS}}{I_D} = \frac{2V_{DS}}{\beta_n (V_{GS} - V_{Tn})^2} \quad (2)$$

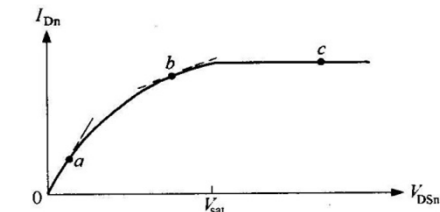
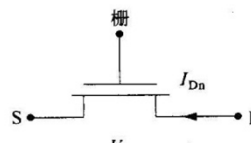
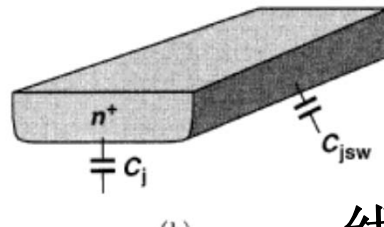
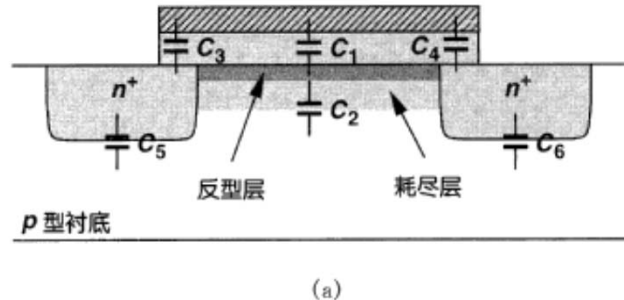


图 6.20 确定 nFET 电阻

统一为简单公式: $R_n = \frac{\eta}{\beta_n (V_{GS} - V_{Tn})}, \text{ 因子 } \eta = 1 \sim 6$

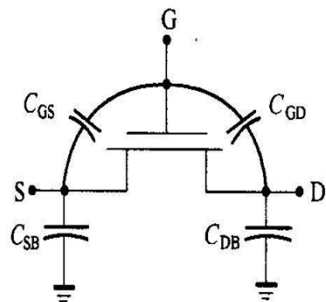


MOS 电容

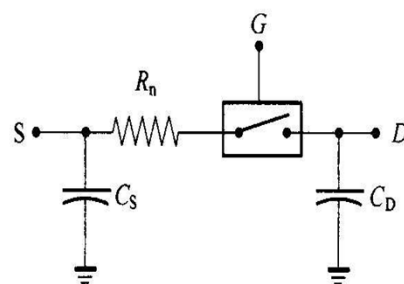


栅电容: $C_G = C_{ox}WL'$

线性区时: $C_{GS} = C_{GD} = \frac{1}{2}C_G$



(a) nFET



(b) nFET 线性模型

图 6.27 nFET RC 模型的最终结构

结电容: $C_j, \text{ F/cm}^2$

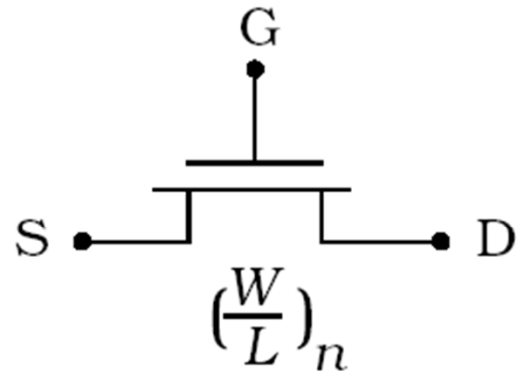
侧壁电容: $C_{jsw}, \text{ F/cm}$

总结电容: $C_n = C_{bot} + C_{sw}$

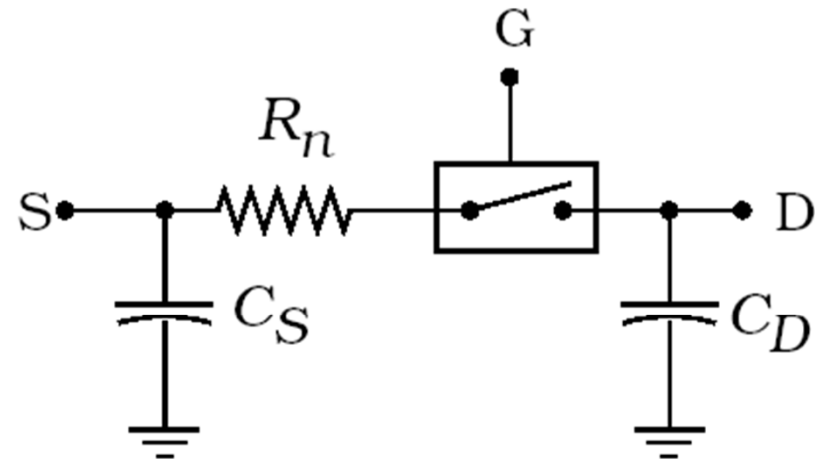
$$= C_j A_{bot} + C_{jsw} P_{sw}$$



NMOS的RC模型



(a) nFET Symbol



(b) Linear model for nFET

Figure 6.19 RC model of an nFET.

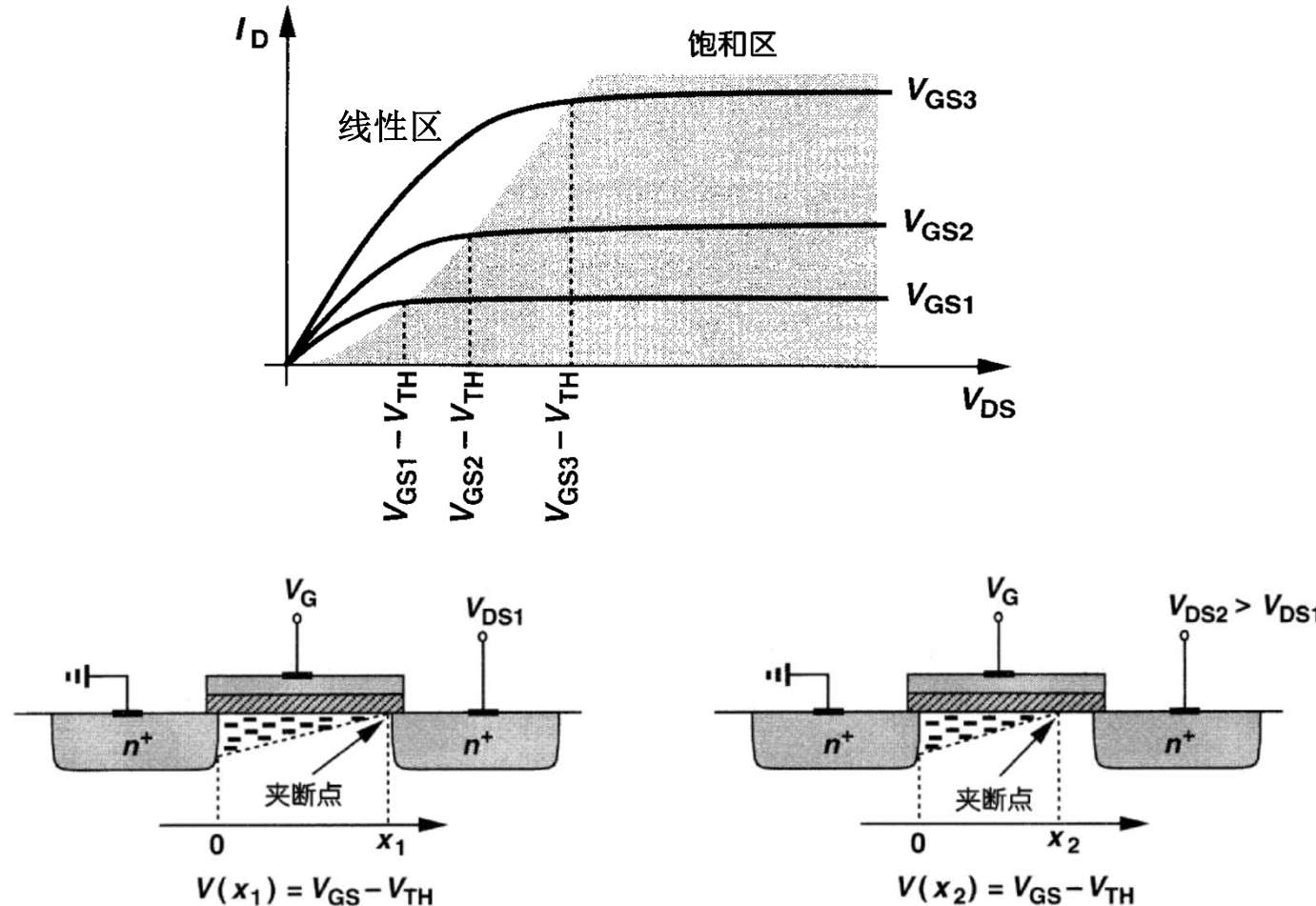


MOSFET的电气特性

1. MOS结构
2. I/V特性：线型区、饱和区
3. 电阻、电容、简单RC模型
4. 二阶效应：
 - 1) 沟道长度调制效应
 - 2) 体偏效应
 - 3) 小尺寸效应
5. MOS 模型

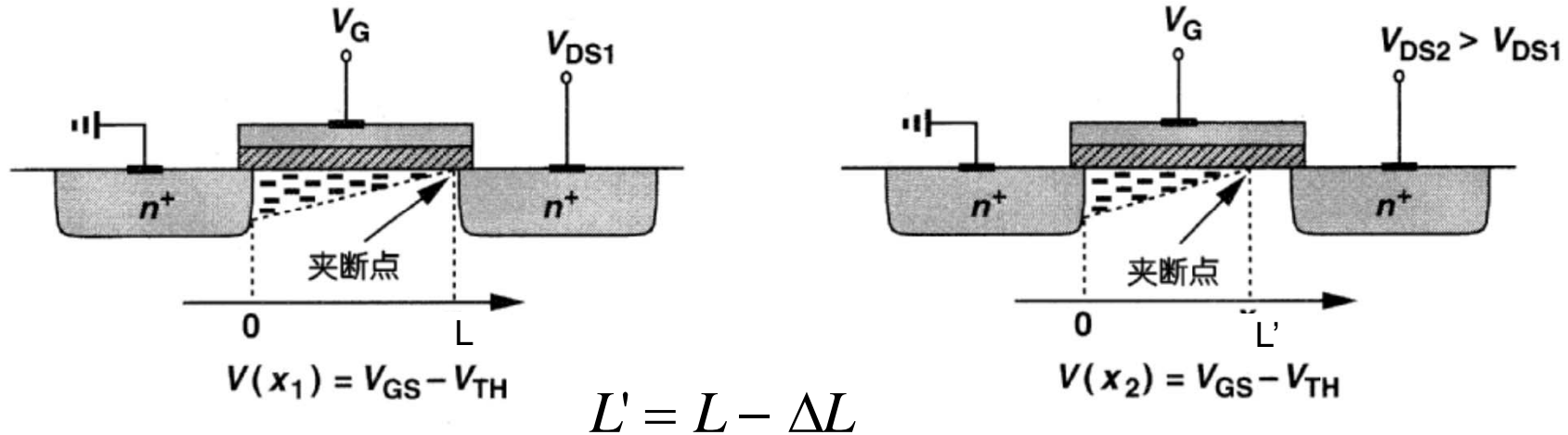


沟道长度调制效应





沟道长度调制效应



$$\frac{1}{L'} = \frac{1}{L - \Delta L} = \frac{1}{L} \frac{1}{(1 - \Delta L/L)} \approx \frac{1}{L} \left(1 + \frac{\Delta L}{L}\right) \quad \text{麦克劳林公式}$$

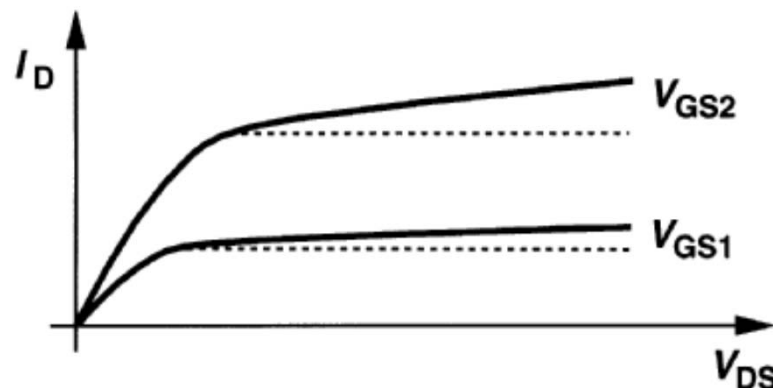
假设 $\Delta L / L = \lambda V_{DS}$, $1 / L' = \frac{1}{L} (1 + \lambda V_{DS})$

$$I_D = \frac{1}{2} \mu_n C_{ox} \frac{W}{L} (V_{GS} - V_{TH})^2 (1 + \lambda V_{DS})$$



沟道调制效应

$$I_D = \frac{1}{2} \mu_n C_{ox} \frac{W}{L} (V_{GS} - V_{TH})^2 (1 + \lambda V_{DS})$$



沟道长度调整对跨导的影响

- 1) 电流随Vds升高而增大
- 2) 输出阻抗减小
- 3) 饱和区跨导公式变化
- 4) 图示跨导的变化: Vds变大后, 曲线纵向间距增大, 表示gm增大。

$$\text{跨导: } g_m \triangleq \frac{\partial I_D}{\partial V_{GS}}$$

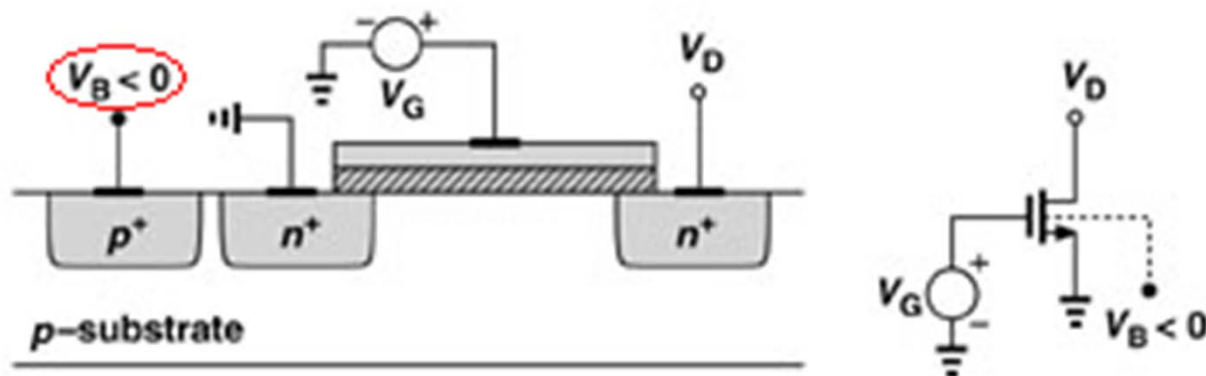


MOSFET的电气特性

1. MOS结构
2. I/V特性：线型区、饱和区
3. 电阻、电容、简单RC模型
4. 二阶效应：
 - 1) 沟道长度调制效应
 - 2) 体偏效应**
 - 3) 小尺寸效应
5. MOS 模型



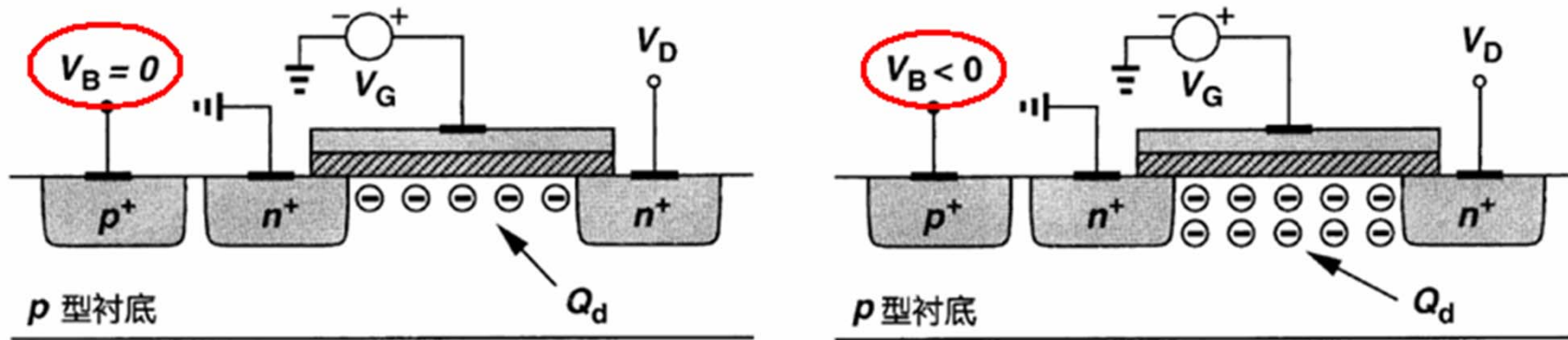
体偏效应



体效应=背栅效应=衬偏效应



体偏效应



耗尽区宽度随体端电压的变化

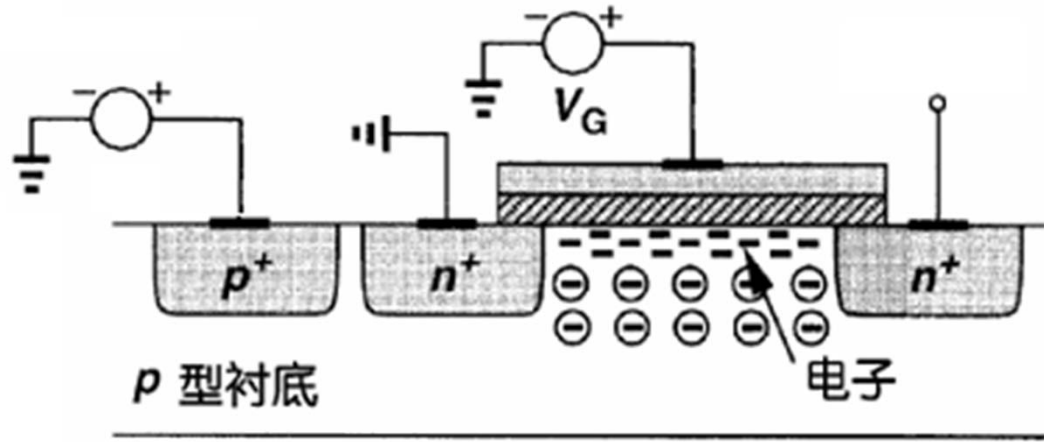
$$V_{TH} = V_{TH0} + \gamma(\sqrt{|2\Phi_F + V_{SB}|} - \sqrt{|2\Phi_F|})$$

体效应系数: $\gamma = \frac{\sqrt{2q\epsilon_{si}N_{sub}}}{C_{ox}}$

体偏效应: 又叫“背栅效应”, 影响趋势与栅极相同!!!



体偏效应



背栅效应的解释2： V_{GS} 超过 V_{th} 时的解释



MOSFET的电气特性

1. MOS结构
2. I/V特性：线型区、饱和区
3. 电阻、电容、简单RC模型
4. 二阶效应：
 - 1) 沟道长度调制效应
 - 2) 体偏效应
 - 3) 小尺寸效应
5. MOS 模型



尺寸缩小原理

- 技术进步使得光刻的分辨率不断提高，可以加工出尺寸更小的晶体管，**为什么人们热衷于减小晶体管的尺寸？**
- 假设一个尺寸为W/L的晶体管，由于技术进步，按照系统的比例因子s被缩小，则

$$\tilde{W} = \frac{W}{s}, \tilde{L} = \frac{L}{s}$$

- 则晶体管面积A=WL缩小后变成：

$$\tilde{A} = \frac{A}{s^2} \quad \text{如果}s=2,\text{ 则面积为原来的}1/4.$$



尺寸缩小原理

- 晶体管的宽长比: $\frac{W}{L} = \frac{\tilde{W}}{\tilde{L}}$
- 氧化层电容: $C_{ox} = \epsilon_{ox} / t_{ox}$
- 如果新工艺: $\tilde{t}_{ox} = t_{ox} / s$ (其实厚度缩小比较少)
- 则: $\tilde{C}_{ox} = \epsilon_{ox} / (t_{ox} / s) = s C_{ox}$
- 工艺互导: $\tilde{\beta} = \mu \tilde{C}_{ox} (\tilde{W} / \tilde{L}) = s \beta$
- 晶体管电阻: $R = \frac{1}{\beta(V_{DD} - V_T)}$
- 如果: $\tilde{V}_{DD} = V_{DD} / s \quad \tilde{V}_T = V_T / s$
- 则电压降低后 $\tilde{R} = R$, 这就是电压缩小的基础.



尺寸缩小原理

- MOS晶体管电压降低后：

$$\widetilde{V_{DS}} = V_{DS} / s \quad \widetilde{V_{GS}} = V_{GS} / s$$

$$I_D = \frac{\beta}{2} [2(V_{GS} - V_T)V_{DS} - V_{DS}^2]$$

$$\widetilde{I_D} = \frac{s\beta}{2} \left[2\left(\frac{V_{GS}}{s} - \frac{V_T}{s}\right) \frac{V_{DS}}{s} - \frac{V_{DS}^2}{s^2} \right] = \frac{I_D}{s}$$

$$\widetilde{P} = \widetilde{V_{DS}} \widetilde{I_D} = \frac{V_{DS} I_D}{s^2} \quad \text{功耗降低了}s^2\text{倍！！！}$$

V_{DD} 一般由系统决定，但降低 V_{DD} 是减小功耗的最有效的手段。 V_T 一般由工艺决定。尺寸减小通常与 V_{DD} 降低一起进行，但两者减小的倍数一般是不同的。



小尺寸效应

1. 短沟道效应：沟道长度L变小时，阈值绝对值会减小。
2. 窄沟道效应：沟道宽度很小时，阈值绝对值会增加。
3. 速度饱和效应：电场很强时，载流子速度不再增加。

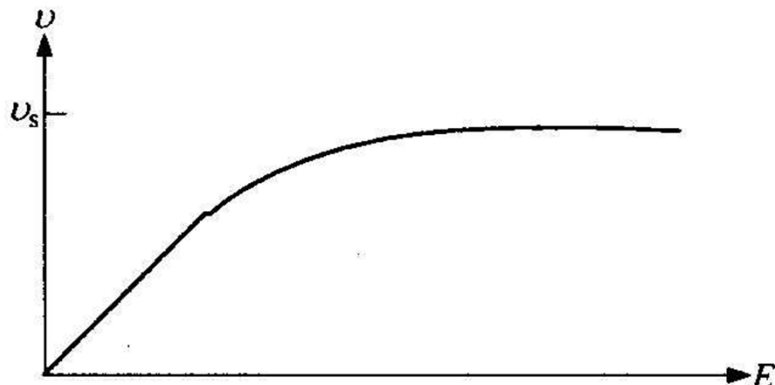


图 6.35 硅中带电粒子的速度与电场的关系

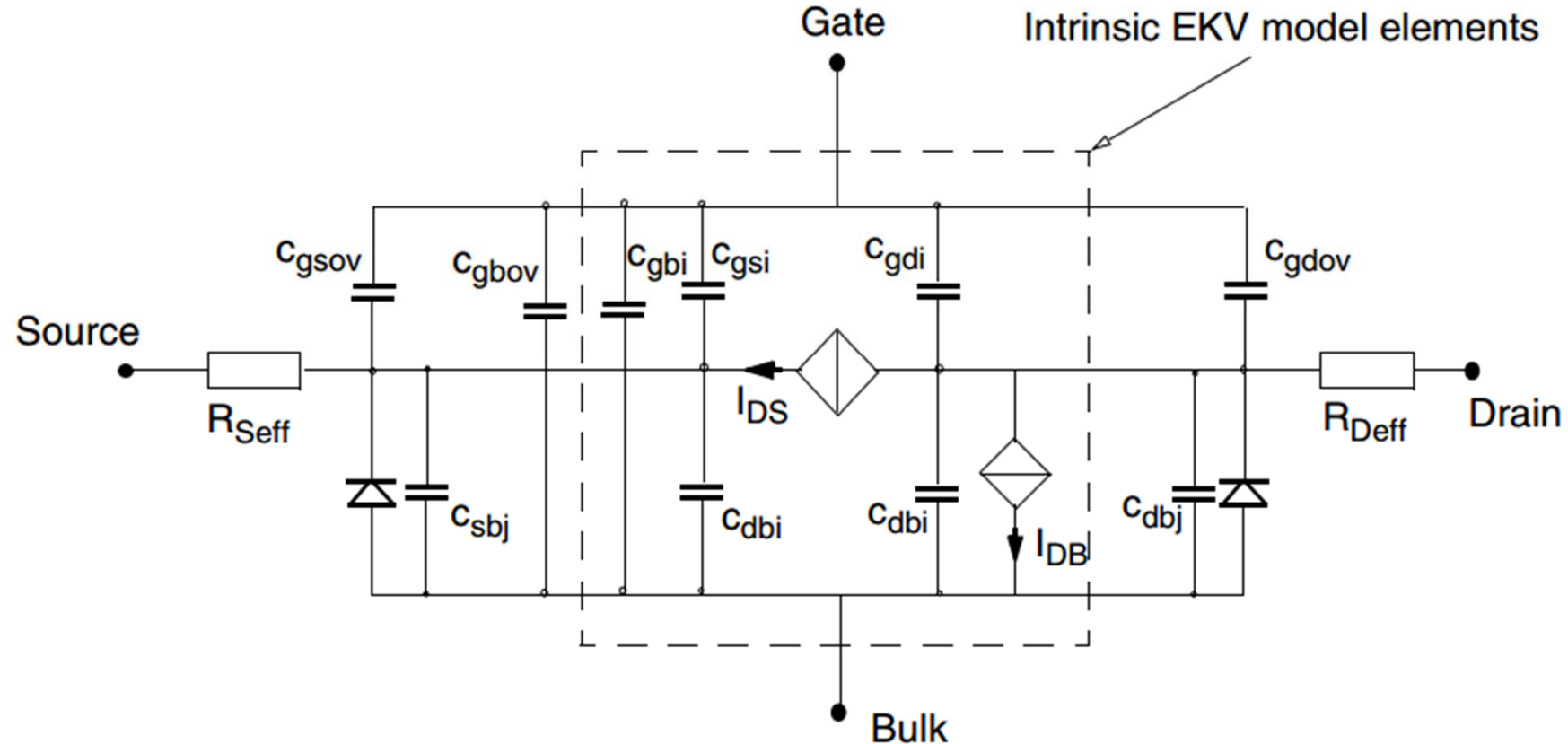


MOSFET的电气特性

1. MOS结构
2. I/V特性：线型区、饱和区
3. 电阻、电容、简单RC模型
4. 二阶效应：
 - 1) 沟道长度调制效应
 - 2) 体偏效应
 - 3) 小尺寸效应
- 5. MOS 模型**



MOS等效电路



Level 55 Equivalent Circuit

SPICE电路模拟软件



- **SPICE: Simulation Program with Integrated Circuit Emphasis**
 - 最早由美国加州大学伯克利分校(UCB)开发
 - 成功应用在电路设计领域
 - 由于源码开放，出现了许多类SPICE模拟软件产品，这些产品大都源自伯克利SPICE，如**HSPICE**, **SPECTRE**, **PSPICE**, **SMARTSPICE**等，所以基本语法相同。
- SPICE模型：为电路元器件建立的用于计算机仿真的行为模型。例如：**MOS**晶体管的**BSIM3**模型。

NMOS 模型参数



```
.model mn nmos
*** Flag Parameter ***
+level = 49                                version = 3.2          binunit = 2
+mobmod = 1                                 capmod = 3            nqsmod = 0
+noimod = 2

*** Geometry Range Parameter ***
+lmin = 5E-7                               lmax = 2.0001E-5      wmin = 5E-7
+wmax = 1.00001E-4

*** Process Parameter ***
+tox = '1.3E-8+toxn'                         toxm = 1.3E-8        xj = 1E-7
+nch = 2.2089E17

*** dW and dL Parameter ***
+wint = 1.217762E-7                          wl = -1.055217E-14   wln = 1.088624
+ww = -3.632817E-14                         wwn = 1              wwl = -2.485314E-22
+lint = 2.75081E-8                           ll = 2.748563E-14   lln = 0.880873
+lw = -1.168405E-15                         lwn = 0.954801      lw1 = 0
+llc = 0                                    lwc = 0              lwlc = 0
+wlc = 0                                    wwc = 0              wwlw = 0
+dwg = 0
+xl = '0+xln'
*** NQS Parameter ***
+elm = 5
```

NMOS 模型参数



*** Vth Related Parameter ***

+vth0 = '0.7192+vth0n'
+pvth0 = 8.152151E-15
+k2 = -2.40215E-2
+k3 = -4.304351
+nlx = 5.908152E-7
+dvt2 = -1.02963E-2
+dvt2w = -0.05

lvth0 = -7.338753E-8
vfb = -0.807666
lk2 = 0
k3b = 0.347047
dvt0 = 9.693021
dvt0w = 0.268269
wvth0 = 1.000668E-8
k1 = 0.9723
pk2 = -4.240442E-15
w0 = 0
dvt1 = 0.628037
dvt1w = 1.099081E5

*** Mobility Related Parameter ***

+u0 = 4.95094E-2
+pub = -3.1E-31
+puc = -2.181422E-23
+pvsat = 2.32786E-9
+wa0 = 0
+lags = -4.725028E-9
+b1 = 1.7E-8
+wketa = 1.8632E-9
+a2 = 0.99
+prwg = -4.46845E-2

ua = 5.498371E-10
uc = 6.610371E-11
vsat = 7.222304E4
a0 = 1.370174
pa0 = 0
pags = 9.557287E-14
keta = -9.02E-3
pketa = 3.552841E-15
= 778.915309
wr = 1
ub = 1.51049E-18
la0 = -5.246225E-7
ags = 0.156174
b0 = 6.116448E-8
lketa = -1.756949E-8
a1 = 0
prwb = -2.51792E-2



NMOS 模型参数

*** Subthreshold Related Parameter ***

+voff = -0.154822

lvoff = -1.5E-8

wvoff = 5.1616E-8

+nfactor = 0.059

eta0 = 3.10135E-2

peta0 = 3.472E-14

+etab = -0.0145

dsub = 0.587975

cit = -1E-4

+cdsc = 1E-3

cdscb = 0

cdscd = 7.317738E-4

*** Output Resistance Related Parameter ***

+pclm = 5.216683

pdiblc1 = 0.110359

pdiblc2 = 4.669031E-3

+pdiblcb = 0

drout = 0.56

pscbe1 = 4.309869E8

+pscbe2 = 9.513696E-7

pvag = 4.8

delta = 0.01

+alpha0 = 1.548E-5

alpha1 = 17.2

beta0 = 40.9

*** Diode Parameter ***

+calcacm = 1

acm = 12

ldif = 0

+hdif = 5E-7

rsh = 60

rd = 0

+rs = 0

rsc = 0

rdc = 0

*** Capacitance Parameter ***

+cj = '8.125778E-4*cjn'

mj = 0.29996

mjsw = 0.165269

+cjsw = '2.801152E-10*cjswn'

cjswg = '4.988546E-10*cjswgn'

js = 2.62E-7

+jsw = 2.1e-11

php = 0.496524

pb = 0.664753

+xpart = 1

cgso = '1.83E-10*cgsn'

cgdo = '1.83E-10*cgodn'

+cgbo = 1E-13

cf = 0

vfbcv = -0.864

+clc = 5E-12

cle = 2.3309

acde = 0.4611

+noff = 2.3

voffcv = -0.0565

NMOS 模型参数



*** Temperature Coeffient ***

+tref = 25	ute = -1.295147	wute = 1.687143E-7
+kt1 = -0.381378	kt1l = 3.5527E-15	kt2 = -3.18363E-2
+ua1 = 3.744979E-9	ub1 = -5.302515E-18	uc1 = -9.79211E-11
+at = 2.2657E4	prt = 11.208	nj = 1.129
+xti = 3	tpb = 1.780267E-3	tpbsw = 1.749689E-3
+tcj = 1.246081E-3	tcjsw = 8.846801E-4	tlevc = 1

***** Flicker Noise Model Parameter ***

+noia = 3.462903E20	noib = 1.510926E4	noic = -5E-14
+em = 7.05003E6	ef = 1.11	